

における横断方向ひずみ分布を示す。GH1, GH2とも試験最大曲げ耐力は、部材全断面積有効として材料強度を用いて計算した終局曲げ耐力計算値とほぼ同等の結果となっている。これは幅厚比の大きいフラッグ形状にも関わらず、フラッグ端部の継手 π イ π 部による補剛効果により、圧縮側フラッグの局部座屈を抑制しているためであると考えられる。また、図3-2の鋼材ひずみ分布においても鋼材ひずみは π イ π を含めてフラッグ全域において一様に分布しており、部材全断面積が荷重に対して有効に抵抗したものと推測される。GHS1においては、添接板すべり発生曲げ耐力試験値は、高力 π 摩擦接合設計におけるすべり発生曲げ耐力算定値以上を發揮する結果となっており、従来の高力 π 摩擦接合の設計法を適用した現場継手部は十分なすべり耐力を有する構造であることがわかる。

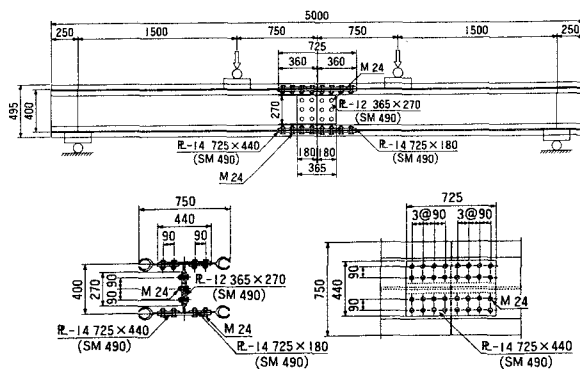


図2-2 試験体概略図(GHS1)

摩擦接合設計におけるすべり発生曲げ耐力算定値以上を發揮する結果となっており、従来の高力 π 摩擦接合の設計法を適用した現場継手部は十分なすべり耐力を有する構造であることがわかる。

表3-1 試験結果

試験ケース	試験最大曲げ耐力 (tf・m)	曲げ耐力算定値 (tf・m)			
		部材降伏曲げ耐力			終局曲げ耐力
		π イ π 外縁部	フラッグ外縁部	添接板	
GH1	196.5	144.9	186.2	----	197.6
GH2	189.0	147.1	182.0	----	189.8
GHS1	180.0(165.8)	147.1	182.0	(118.9)	189.8

*部材降伏曲げ耐力:材料試験結果をもとに、全断面有効として断面各部が降伏に至る計算値。添接板は高力 π 摩擦接合設計における滑り耐力
 *終局曲げ耐力:材料試験結果をもとに、全断面有効として部材全断面が降伏に至る計算値。
 *GHS1の()内は添接板すべり発生曲げ耐力の試験値と算定値

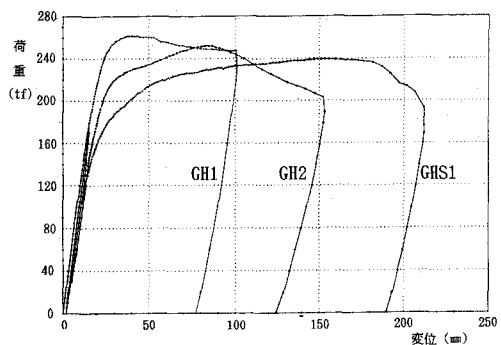


図3-1 荷重～変位曲線

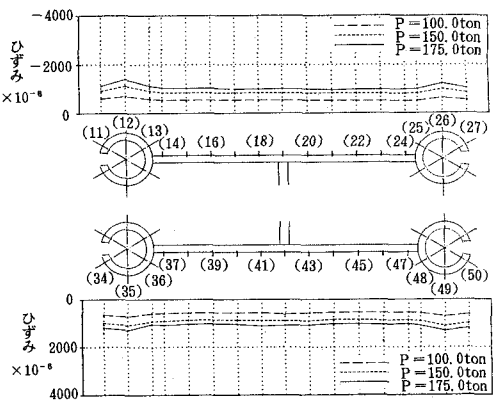


図3-2 ひずみ分布図(GH1)

4. まとめ

鋼製地中連続壁工法に用いる構造用部材(NS-BOX:GH-Rタイプ)の部材性能を把握するために構造試験を行い、以下のような結果が得られた。①試験最大曲げ耐力は、材料強度を考慮して算定した終局曲げ耐力とほぼ一致した結果となっており、構造部材としての信頼性が確認された。②断面力の算定は、フラッグ端部にある π イ π 部の補剛効果により部材全断面積有効として設計を行うことができる。③従来の高力 π 摩擦接合の設計法を適用して設計した現場部材接合部は十分なすべり耐力を發揮した。